

فهرست مطالب

عنوان	صفحه
۱-۱- مقدمه	۱
فصل ۲ - مروری بر منابع مطالعاتی	
۲-۱- بیو مواد	۴
۲-۲- بیوسرامیک	۵
۲-۳- بیومواد پلیمری	۵
۲-۴- انواع پلیمرهای طبیعی	۶
۲-۵- کلسیم فسفات	۷
۲-۶- هیدروکسی آپاتیت	۸
۲-۷- کاربرد های هیدروکسی آپاتیت	۸
۲-۸- اشکال هیدروکسی آپاتیت	۹
۲-۹- ساختار استخوان	۱۰
۲-۱۰- مهندسی بافت	۱۱
۲-۱۱- اهمیت داربست ها در مهندسی بافت	۱۲
۲-۱۲- طبقه بندی داربستها	۱۳
۲-۱۳- ویژگیهای لازم برای ماده داربستی	۱۳
۲-۱۴- طراحی داربست	۱۴
۲-۱۵- اهمیت تخلخل در داربست ها	۱۶
۲-۱۶- اهمیت داربست در رهایش دارو	۱۷
۲-۱۷- روش های ساخت داربست های متخلخل	۱۷
۲-۱۸- روش ریخته گری حلال / شستشوی ذره	۱۸
۲-۱۹- ۱- انتخاب نوع حلال	۱۸
۲-۲۰- ۲- انتخاب نوع قالب	۲۰
۲-۲۱- ۲- شستشوی نمک	۲۱
۲-۲۲- ۳- فرایند لایه چینی	۲۲
۲-۲۳- ۴- اکستروزن	۲۳

۲۳.....	- جدایش فازی ۵-۸-۲
۲۵.....	- ۱-۵-۸-۲ - جدایش فازی جامد- مایع.....
۲۶.....	- ۲-۵-۸-۲ - جدایش فازی مایع- مایع.....
۲۷.....	- ۲-۶-۸-۲ روشن خشک کردن انجمادی امولسیون.....
۲۹.....	- ۲-۷-۸-۲ - ایجاد فوم به روشن گازی
۳۰.....	- ۲-۷-۸-۲ - ۱- گسترش تخلخل به کمک دی اکسید کربن تحت فشار
۳۰.....	- ۲-۷-۸-۲ - استفاده از عوامل ایجاد کننده فوم
۳۱.....	- ۲-۸-۸-۲ - نمونه سازی سریع.....
۳۲.....	- ۲-۹- کیتین و کیتوسان
۳۴.....	- ۲-۹-۱- روش های تولید کایتوسان از کیتین.....
۳۵.....	- ۲-۹-۲ - فعالیت های ضد میکروبی و تخریب پذیری کایتوسان.....
۳۶.....	- ۲-۱۰- ویژگی های ژلاتین
۳۷.....	- ۲-۱۱- سیلیس کلوئیدی
۴۰.....	- ۲-۱۲- بررسی خواص چند داربست کامپوزیتی هیدروکسی آپاتیت - کایتوسان
۴۰.....	- ۲-۱۲-۱- اثر افزودن نانو هیدروکسی آپاتیت و ژلاتین
۴۳.....	- ۲-۱۲-۲ - مقایسه داربست کایتوسان و داربست کامپوزیتی کایتوسان - هیدروکسی آپاتیت
۴۵.....	- ۲-۱۲-۳- اثر افزودن سیلیکا در تشکیل آپاتیت
۴۸.....	- ۲-۱۳- هدف از انجام این پژوهش

فصل ۳ - فعالیت های تجربی

۵۰.....	- ۳-۱- مواد اولیه
۵۱.....	- ۳-۲- تجهیزات و دستگاهها
۵۲.....	- ۳-۳- ساخت داربست کایتوسان- ژلاتین به روشن خشک کردن انجمادی
۵۲.....	- ۳-۴- پوشش دهی داربست
۵۲.....	- ۳-۴-۱- پوشش دهی با دوغاب کلسیم فسفاتی
۵۳.....	- ۳-۴-۲- پوشش دهی با سیلیس کلوئیدی
۵۴.....	- ۳-۵- بررسی زیست فعالی داربست‌ها (آزمون IN-VITRO درون محلول شبیه‌ساز بدن SBF)
۵۴.....	- ۳-۵-۱- ساخت محلول SBF
۵۵.....	- ۳-۵-۲- انجام مرحله غوطه وری
۵۵.....	- ۳-۶- آزمایشات انجام شده جهت بررسی خواص

۵۵.....	۱-۶-۳- بررسی فازی به روش پراش پرتو ایکس (XRD)
۵۶.....	۲-۶-۳- آزمون FTIR
۵۶.....	۳-۶-۳- بررسی های میکروسکوپی
۵۶.....	۴-۶-۳- آنالیز عنصری EDXA
۵۶.....	۵-۶-۳- استحکام
۵۷.....	۶-۶-۳- آنالیز عنصری ICP از محلول های SBF
۵۷.....	۷-۳- آزمون تخریب پذیری

فصل ۴- نتایج

۵۹.....	۱-۴- بررسی مشخصات داربست کایتوسان - ژلاتین
۵۹.....	۱-۱-۴- آنالیز فازی
۵۹.....	۲-۱-۴- بررسی طیف حاصل از آزمون FTIR
۶۱.....	۳-۱-۴- مورفولوژی داربست
۶۲.....	۴-۱-۴- استحکام داربست
۶۳.....	۵-۱-۴- بررسی زیست فعالی داربست کایتوسان- ژلاتین
۶۳.....	۱-۵-۱-۴- آنالیز فازی (XRD)
۶۴.....	۲-۵-۱-۴- آنالیز FTIR
۶۵.....	۳-۵-۱-۴- بررسی میکروسکوپی (SEM)
۶۸.....	۴-۵-۱-۴- آنالیز عنصری محلول SBF داربست بدون پوشش
۶۹.....	۲-۴- داربست های پوشش داده شده با دوغاب کلسیم فسفات
۷۰.....	۱-۲-۴- آنالیز فازی
۷۱.....	۲-۲-۴- آنالیز FTIR
۷۲.....	۳-۲-۴- بررسی میکروسکوپی (EDXA و SEM)
۷۸.....	۴-۲-۴- آنالیز عنصری محلول SBF داربست پوشش داده شده با کلسیم فسفات
۷۹.....	۵-۲-۴- استحکام داربست پوشش داده شده با کلسیم فسفات
۸۰.....	۱-۵-۲-۴- مقایسه استحکام داربست بدون پوشش و پوشش داده شده با کلسیم فسفات
۸۱.....	۳-۴- داربست کایتوسان - ژلاتین پوشش داده شده با سیلیس کلوئیدی
۸۱.....	۱-۳-۴- آنالیز فازی (XRD)
۸۱.....	۲-۳-۴- آنالیز FTIR
۸۲.....	۳-۳-۴- بررسی میکروسکوپی (EDXA و SEM)

۸۵.....	- آنالیز عنصری محلول SBF داربست پوشش داده شده با سیلیس کلوئیدی	۴-۳-۴
۸۶.....	- تخریب پذیری داربست	۴
۸۸.....	- بحث کلی	۴-۵
فصل ۵- نتیجه گیری و پیشنهادها		
۹۲.....	- نتیجه گیری	۱-۵
۹۳.....	- پیشنهاد ها	۲-۵
فصل ۶- مراجع		
۹۵	- مراجع	۶

فهرست جداول‌ها

صفحه

عنوان

فصل ۲ - مرواری بر منابع

جدول ۲ - ۱: عمدۀ ترین کلسیم فسفات‌های دارای کاربرد بیولوژیک ۷
جدول ۲ - ۲: ترکیبات تشکیل دهنده استخوان ۱۰
جدول ۲ - ۳: مقایسه قدرت حلالها ۱۹
جدول ۲ - ۴: ویژگی‌های مربوط به چند نوع حلال معروف ۲۰

فصل ۳ - فعالیت‌های تجربی

جدول ۳ - ۱: مواد مورد نیاز برای ساخت داربست و پوشش دهی آن ۵۰
جدول ۳ - ۲: مواد مورد نیاز برای آماده سازی محلول شبیه سازی شده به سیالات بدن (SBF) ۵۱
جدول ۳ - ۳: مواد مورد استفاده برای ساخت یک لیتر SBF ۵۴
جدول ۳ - ۴: غلظت یونی SBF و پلاسمای خون انسان (mM) ۵۵

فصل ۴ - نتایج و بحث

جدول ۴ - ۱: پیک‌های مشخصه طیف FTIR پودر ژلاتین، پودر کایتوسان و داربست کایتوسان- ژلاتین ۶۰
جدول ۴ - ۲: اعداد به دست آمده برای محاسبه استحکام فشاری داربست بدون پوشش ۶۲
جدول ۴ - ۳: اعداد به دست آمده برای محاسبه استحکام فشاری داربست پوشش داده شده با کلسیم فسفات ۸۰
جدول ۴ - ۴: درصد تخریب پذیری داربست بدون پوشش طی روزهای مختلف غوطه وری در محلول SBF ۸۶
جدول ۴ - ۵: درصد تخریب پذیری داربست پوشش داده شده با کلسیم فسفات طی روزهای مختلف غوطه وری در محلول SBF ۸۶
جدول ۴ - ۶: درصد تخریب پذیری داربست پوشش داده شده با سیلیس کلوئیدی طی روزهای مختلف غوطه وری در محلول SBF ۸۷

شکل‌ها

عنوان

صفحه

فصل ۲ - مروی بر منابع

شکل ۲-۱: پلیمرهای مورد استفاده برای ساخت داربست ۶
شکل ۲-۲: ساختار کریستالی هیدروکسی آپاتیت ۸
شکل ۲-۳: تصویر مقطع استخوان (قسمت فشرده و اسفنجی) ۱۱
شکل ۲-۴: اساس روش شستشوی نمک ۲۱
شکل ۲-۵: تصویر شماتیک از مراحل ساخت یک داربست سهبعدی از طریق لایه چینی ۲۳
شکل ۲-۶: تصویر SEM از داربست PLLA تهیه شده به روش جدایش فازی حرارتی جامد- مایع ۲۴
شکل ۲-۷: نمایش شماتیک نحوه ساخت داربست با فرایندهای جدایش فازی: (A) پودر، (B) داربست با شبکه پیوسته، (C) فوم با حفرات بسته ۲۵
شکل ۲-۸: تصویر SEM از یک داربست کامپوزیتی PLLA/HA تهیه شده به روش جدایش فازی حرارتی جامد- مایع ۲۶
شکل ۲-۹: مراحل ساخت یک داربست متخلخل PLGA به روش خشک کردن تبریدی امولسیونی ۲۸
شکل ۲-۱۰: نمونه ای از دستگاه فریز درایر ۲۹
شکل ۲-۱۱: (a) نمای فوقانی ، (b) مقطع عرضی داربست کایتوسان تهیه شده به روش خشک کردن انجمادی ۲۹
شکل ۲-۱۲: تصویر SEM از یک داربست PLGA تهیه شده از روش گازی ۳۰
شکل ۲-۱۳: طرح شماتیک روش تولید داربست به روش 3DF ۳۲
شکل ۲-۱۴: کاربردهای کایتوسان (الف) چسب زخم، (ب) لنز چشم ۳۴
شکل ۲-۱۵: نحوه تشکیل کایتوسان از کیتین ۳۵
شکل ۲-۱۶: ساختار کیتین و کایتوسان ۳۵
شکل ۲-۱۷: تصویر شماتیک یک ذره سیلیس کلوئیدی ۳۸
شکل ۲-۱۸: الگوی پراش اشعه X ذرات سلیس ۳۹
شکل ۲-۱۹: الگوی EDXA ذرات سیلیس ۳۹
شکل ۲-۲۰: طیف FTIR ذرات سیلیس کلوئیدی ۴۰

- شکل ۲-۲۱: A طیف FTIR (a) کایتوسان - ژلاتین و نانو هیدروکسی آپاتیت
(c) نانو هیدروکسی آپاتیت، B الگوی XRD (a) کایتوسان - ژلاتین ژلاتین (b) نانو هیدروکسی آپاتیت
(c) داربست کامپوزیتی ۴۱
- شکل ۲-۲۲: تصاویر SEM (b,a) داربست های کایتوسان - ژلاتین و (c,d) داربست های کایتوسان - ژلاتین و نانو هیدروکسی آپاتیت ۴۱
- شکل ۲-۲۳: رفتار تخریب پذیری داربست ها در PBS حاوی لیزوزیم ۴۲
- شکل ۲-۲۴: A تصاویر SEM داربست های کامپوزیتی پس از غوطه وری در SBF (a,b) ۷ روز (c,d) ۱۴ روز ۱۴
- شکل ۲-۲۵: FTIR طیف داربست های کامپوزیتی پس از غوطه وری در محلول SBF (a) کنترل (b) ۷ روز ۴۳
- شکل ۲-۲۶: (a) ساختار متخلخل کایتوسان، (b) داربست کامپوزیتی کایتوسان / نانو هیدروکسی آپاتیت با HA٪ ۱۲ ۴۳
- شکل ۲-۲۷: الگوی XRD داربست کایتوسان و داربست کامپوزیتی پس از غوطه وری در محلول SBF ۵× ۴۴
- شکل ۲-۲۸: تصویر SEM (a) داربست کایتوسان (b) داربست کامپوزیتی پس از غوطه وری در محلول SBF ۵× ۴۵
- شکل ۲-۲۹: (i) طیف FTIR، (ii) الگوی XRD کامپوزیت های هیدروکسی آپاتیت و TEOS با محلول کایتوسان با درصد های مختلف پس از غوطه وری در محلول SBF ۴۷
- شکل ۲-۳۰: (a) تصویر SEM از نانوکامپوزیت تولید شده پس از غوطه وری در محلول SBF، (b) الگوی EDXA نمونه در سطح میزان، (c) الگوی EDXA ذرات تشکیل شده روی سطح، (d) و (e) فرایند مکانیکی تشکیل لایه آپاتیتی پس از غوطه وری در محلول SBF ۴۸

فصل ۳- فعالیت های تجربی

شکل ۳-۱: طرح اجمالی نحوه تهیه نانوکامپوزیت هیدروکسی آپاتیت/ کایتوسان ۵۳

فصل ۴- نتایج و بحث

- شکل ۴-۱: الگوی پراش پرتو ایکس پودر ژلاتین، پودر کایتوسان و داربست کایتوسان- ژلاتین ۵۹
- شکل ۴-۲: طیف FTIR مربوط به پودر ژلاتین، پودر کایتوسان و داربست کایتوسان- ژلاتین ۶۰
- شکل ۴-۳: تصویر SEM از مقطع فوقانی داربست کایتوسان - ژلاتین با بزرگنمایی های مختلف ۶۱
- شکل ۴-۴: تصویر SEM از مقطع عرضی داربست کایتوسان - ژلاتین با بزرگنمایی های مختلف ۶۱

..... شکل ۴-۵: نمودار جابجایی/بار برای تعیین استحکام داربست بدون پوشش	۶۲
..... شکل ۴-۶: الگوی پراش پرتو X داربست کایتوسان-ژلاتین پس از غوطه وری در محلول SBF به مدت زمان های مختلف پس از ۱ دقیقه شستشو در آب مقطر	۶۳
..... شکل ۴-۷: الگوی پراش پرتو X مرجع NaCl	۶۳
..... شکل ۴-۸: الگوی پراش پرتو X داربست کایتوسان-ژلاتین پس از غوطه وری در محلول SBF به مدت ۷ و ۱۴ روز پس از ۳ ساعت شستشو در آب مقطر	۶۴
..... شکل ۴-۹: طیف FTIR داربست کایتوسان-ژلاتین پس از غوطه وری در محلول SBF به مدت زمان های مختلف	۶۴
..... شکل ۴-۱۰: تصویر SEM داربست کایتوسان - ژلاتین قبل از غوطه وری	۶۶
..... شکل ۴-۱۱: الگوی EDXA داربست بدون پوشش پس از ۱ روز غوطه وری در SBF	۶۶
..... شکل ۴-۱۲: الگوی EDXA داربست بدون پوشش پس از ۳ روز غوطه وری در SBF	۶۷
..... شکل ۴-۱۳: الگوی EDXA داربست بدون پوشش پس از ۷ روز غوطه وری در SBF	۶۷
..... شکل ۴-۱۴: الگوی EDXA داربست بدون پوشش پس از ۱۴ روز غوطه وری در SBF	۶۷
..... شکل ۴-۱۵: تصویر SEM داربست بدون پوشش پس از (a,b) ۷ روز (c,d) ۱۴ روز غوطه وری در محلول SBF (عملیات شستشو پس از خروج از محلول SBF به مدت ۳ ساعت انجام شده است)	۶۸
..... شکل ۴-۱۶: آنالیز عنصری محلول SBF داربست بدون پوشش	۶۹
..... شکل ۴-۱۷: الگوی پراش پرتو X برای (a) پودر کلسیم فسفات، (b) داربست پوشش یافته، (c,d,e) داربست غوطه ور شده در SBF پس از ۱، ۷ و ۱۴ روز	۷۱
..... شکل ۴-۱۸: طیف FTIR مربوط به (a) پودر کلسیم فسفات ، (b) داربست پوشش داده شده با کلسیم فسفات، (c تا f) داربست پوشش داده شده پس از غوطه وری در محلول SBF برای مدت زمان های ۱,۳,۷ و ۱۴ روز	۷۲
..... شکل ۴-۱۹: تصویر SEM داربست پوشش داده شده با کلسیم فسفات (a)با بزرگنمایی کم و (b,c) با بزرگنمایی بیشتر	۷۳
..... شکل ۴-۲۰: تصویر SEM داربست پوشش داده شده با کلسیم فسفات: (a,b) پس از ۱ روز غوطه وری در SBF (c,d,e) پس از ۳ روز غوطه وری در SBF در بزرگنمایی های مختلف	۷۴
..... شکل ۴-۲۱: تصویر SEM داربست پوشش داده شده با کلسیم فسفات پس از ۷ روز غوطه وری در SBF	۷۵
..... شکل ۴-۲۲: تصویر SEM داربست پوشش داده شده با کلسیم فسفات: (a,b) پس از ۷ روز غوطه وری در SBF (c,d) پس از ۱۴ روز غوطه وری در SBF در بزرگنمایی های مختلف	۷۶

- شکل ۴-۲۳: تصویر SEM داربست پوشش داده شده با کلسیم فسفات پس از ۱۴ روز غوطه وری در SBF ۷۷.....
- شکل ۴-۲۴: الگوی EDXA داربست پوشش داده شده با کلسیم فسفات پس از ۷ روز غوطه وری در SBF ۷۷.....
- شکل ۴-۲۵: الگوی EDXA داربست پوشش داده شده با کلسیم فسفات پس از ۱۴ روز غوطه وری در SBF ۷۸.....
- شکل ۴-۲۶: تغییر در غلظت یونی محلول SBF در طی زمان غوطه وری برای داربست پوشش داده شده با کلسیم فسفات ۷۹.....
- شکل ۴-۲۷: نمودار جابجایی/بار برای تعیین استحکام داربست پوشش داده شده با کلسیم فسفات ۷۹....
- شکل ۴-۲۸: نمودار مقایسه استحکام داربست بدون پوشش و پوشش داده شده با کلسیم فسفات ۸۰.....
- شکل ۴-۲۹: الگوی پراش پرتو X برای داربست قبل از پوشش، داربست پوشش یافته با سیلیس کلوئیدی، داربست پوشش یافته و غوطه ور شده در SBF پس از ۱،۳،۷ و ۱۴ روز ۸۱.....
- شکل ۴-۳۰: طیف FTIR برای داربست قبل از پوشش، داربست پوشش یافته با سیلیس کلوئیدی، داربست پوشش یافته و غوطه ور شده در SBF پس از ۱،۳،۷ و ۱۴ روز ۸۲.....
- شکل ۴-۳۱: تصویر SEM (a) داربست پوشش داده شده با سیلیس کلوئیدی ۸۳.....
- شکل ۴-۳۲: تصویر SEM داربست پوشش داده شده با سیلیس کلوئیدی (a,b) پس از ۱ روز غوطه وری در محلول SBF ، (c,d) پس از ۱۴ روز غوطه وری در محلول SBF ۸۳.....
- شکل ۴-۳۳: الگوی EDXA داربست پوشش داده شده با سیلیس کلوئیدی پس از ۱ روز غوطه وری در محلول SBF ۸۴.....
- شکل ۴-۳۴: الگوی EDXA داربست پوشش داده شده با سیلیس کلوئیدی پس از ۳ روز غوطه وری در محلول SBF ۸۴.....
- شکل ۴-۳۵: الگوی EDXA داربست پوشش داده شده با سیلیس کلوئیدی پس از ۷ روز غوطه وری در محلول SBF ۸۴.....
- شکل ۴-۳۶: الگوی EDXA داربست پوشش داده شده با سیلیس کلوئیدی پس از ۱۴ روز غوطه وری در محلول SBF ۸۵.....
- شکل ۴-۳۷: تغییر در غلظت یونی محلول SBF در طی زمان غوطه وری برای داربست پوشش داده شده با سیلیس کلوئیدی ۸۵.....
- شکل ۴-۳۸: نمودار مقایسه میزان تخریب پذیری داربست بدون پوشش، داربست پوشش داده شده با کلسیم فسفات و داربست پوشش داده شده با سیلیس کلوئیدی ۸۸.....

فصل ١

مقدمة

۱-۱-۱- مقدمه

مهندسی بافت رویکرد نسبتاً جدیدی است که با استفاده از داربستهای طراحی شده، فاکتورهای رشد و سلولهای ویژه به بازسازی بافت مورد نظر می‌پردازد. داربستهایی که برای بازسازی بافت استخوانی مورد استفاده قرار می‌گیرند باید دارای ویژگی‌هایی باشند که از مهمترین آنها می‌توان به وجود تخلخلهای درشت (با ابعاد بیشتر از $50 \mu\text{m}$) و مرتبط با هم، همچنین قابلیت تشویق استخوان‌سازی اشاره نمود. بنابراین داربستهایی از جنس بیوسرامیکهای کلسیم فسفاتی خصوصاً هیدروکسی آپاتیت مناسبترین گزینه برای استفاده به عنوان داربست مهندسی بافت استخوان می‌باشند [۱].

استخوان ترکیبی از اجزاء آلی و غیرآلی می‌باشد که ترکیبات غیرآلی شامل کریستال‌های هیدروکسی آپاتیت و ترکیبات آلی شامل درصدهای زیادی کلاژن و مقادیر کمتری از گیلوکوزامینوگلیکان‌ها، پروتئوگلیکان‌ها و گلیکوپروتئین‌ها می‌باشند. لذا از آنجا که استخوان یک نانوکامپوزیت از مواد معدنی و پروتئینی است ساخت نانوکامپوزیتی مشابه استخوان طبیعی مورد توجه قرار می‌گیرد [۲].

کامپوزیت‌های بایومیمتیک شامل ترکیبی از پلیمر آلی و سرامیک غیرآلی می‌باشند که در ساختار و ترکیب مشابه استخوان بوده و بطور موفقیت آمیزی بعنوان داربست برای کاشت استخوان بکار می‌روند. این داربست‌ها بستر لازم برای سلول‌های استخوان ساز جهت تکثیر، افزایش چسبندگی، گسترش و رشد را فراهم می‌کنند و سبک معما ری آنها شکل نهایی استخوان‌های تشکیل شده جدید را تعریف می‌کند [۳].

بسیاری از سرامیک‌ها مانند هیدروکسی آپاتیت، تری کلسیم فسفات (TCP) و کلسیم فسفات‌های دوفازی و پلیمرهای زیست تخریب پذیر مانند پلی‌لакتیک اسید، پلی‌گلیکولیک اسید و غیره بطور گستردگی ای بعنوان مواد کاشتنی استخوان استفاده می‌شوند. در میان این پلیمرها، کایتوسان بعلت خواص زیست سازگاری، غیر سمی بودن، و قابل جذب بودن معروف می‌باشد. کایتوسان شامل گلوکزامین و N-acetyl گلوکزامین، یک پلی‌ساقارید است که از داستیله کردن پلیمر کیتین به دست می‌آید ساختار کایتوسان مانند گلوکزامینوگلیکان، هنگامیکه در استخوان هستند می‌باشد، بنابراین می‌تواند بعنوان یک ماده جانشین استخوان استفاده شود. سطح پلیمر کایتوسان آبدوست است، بنابراین چسبندگی، تکثیر و افتراء سلول را افزایش می‌دهد و سبب حداقل واکنش ماده کاشتنی و بدن می‌شود [۴].

گزارش شده است که تلفیق کلسیم فسفات‌ها درون یک زمینه پلیمری خواص مکانیکی را افزایش می‌دهد و توانایی پیوند استخوان به پلیمر را افزایش می‌دهد و زیست تخریب پذیری و خواص جذب

زمینه پلیمری را کنترل می‌کند^[۴]. همچنین تشکیل آپاتیت بر روی مواد زیست فعال در محیط بدن، می‌تواند در محلول شبیه ساز سیالات بدن (SBF)^۱ صورت پذیرد یعنی زیست فعالی مواد درون تنی^۲ می‌تواند بوسیله تشکیل آپاتیت بر روی سطح آنها پیش بینی شود. بعلاوه پوشش دهی با آپاتیت، روشی برای تولید داربست با سطح فعال، بمنظور کاربرد در مهندسی بافت استخوان می‌باشد. روش بیومیمتیک با استفاده از محلول SBF، بدون استفاده از تجهیزات خاص و یا فرایندهای دما بالا، یک لایه آپاتیتی بر روی زیر لایه را فراهم می‌کند. این روش آسان و سریع می‌باشد و دارای برتری‌های زیادی نسبت به سایر روش‌ها، از جمله پاشش پلاسمای^۳ و رسوب همراه یون^۴ می‌باشد^[۵].

در این پژوهش داربست‌های کایتوسان با افزودنی ژلاتین بوسیله روش خشک کردن انجمادی^۵ فراهم شده‌اند که دارای ساختار متخلخل و حالت آوندی مناسبی هستند ولی این داربست‌ها دارای خواص مکانیکی نسبتاً ضعیف و ناپایداری می‌باشند. لذا ابتدا یک پوشش کلسیم فسفاتی بر روی داربست اعمال می‌شود و با استفاده از روش بیومیمتیک درون محلول SBF به نانو ذرات هیدروکسی آپاتیت تبدیل می‌شود که شباهت زیادی به بافت مینرالی استخوان و همچنین جذب بیشتری نسبت به هیدروکسی آپاتیت کاملاً بلورین دارد. به این ترتیب هم استحکام داربست‌ها و هم زیست فعالی آنها افزایش می‌یابد.

¹ . Simulated Body Fluid

² . In vivo

³ . plasma spraying

⁴ . ion-assisted deposition

⁵ . freeze drying

فصل ۲

مرواری بر منابع مطالعاتی

۱-۲- بیو مواد

بیوماده یا ماده زیستی به ماده‌ای با منشا مصنوعی یا طبیعی گفته می‌شود، که به منظور بهبود، درمان، التیام و یا جایگزینی بافت موجودات زنده به کار می‌رود. استخوان دارای قابلیت خود ترمیمی بوده و قادر است به صورت خودبه‌خود جوش خورده و التیام یابد، مگر آنکه شدت آسیب واردہ به حدی باشد که این قابلیت از آن سلب گردد [۶]. سابقه تلاش برای دست یافتن به موادی که بتوانند جایگزین اعضای ناسالم یا از دست رفته بدن انسان شوند به روزهای آغازین جراحی باز می‌گردد. در قرون متمامی تلاش‌های فراوانی در به کارگیری مواد با قابلیت جایگزینی با اعضای طبیعی بدن صورت گرفته است [۷].

عمل جایگزینی در جراحی استخوان به سه طریق امکان پذیر است:

- ۱- پیوندهای اتوگرافت: که در آن پیوند از بدن خود فرد بیمار گرفته می‌شود.
- ۲- پیوندهای الوگرافت: که به پیوندهایی اطلاق می‌گردد که از بدن شخص دیگر گرفته شده و به بدن بیمار پیوند زده می‌شود.

اگرچه این دو پیوند هنوز از موثرترین روش‌ها جهت ترمیم استخوان در عمل‌های ارتوپدی می‌باشد، اما محدودیت‌ها و معایبی چون عمل ثانویه بر روی بیمار، کمیاب بودن دهنده عضو، پس زدن سیستم ایمنی بدن و انتقال عوامل بیماری‌زا، جراحان را به استفاده از روش سوم تشویق کرد [۶].

۳- استفاده از بیومتریال‌ها

بیومتریال‌ها به موادی اطلاق می‌گردند که به طور متناوب یا پیوسته در تماس با بافت بدن قرار می‌گیرند، که دو گروه می‌باشند: یکی با منشا طبیعی و دیگری مصنوعی نظیر فلزها، آلیاژها، سرامیک‌ها و پلیمرها که می‌توانند قابلیت جذب بیولوژیکی داشته باشند و یا این‌که تجزیه نگردد، که در بین آن‌ها سرامیک‌ها از اهمیت ویژه‌ای بر خوردارند [۹،۸].

مواد مصنوعی باید دارای پایداری بلندمدت شیمیایی و مکانیکی باشد. ویژگی‌های لازم برای این مواد عبارتند از:

- عدم ایجاد مسمومیت
- پایداری مکانیکی
- مقاومت در برابر شکست و تغییر شکل
- نداشتن واکنش‌های ناسازگار با بدن

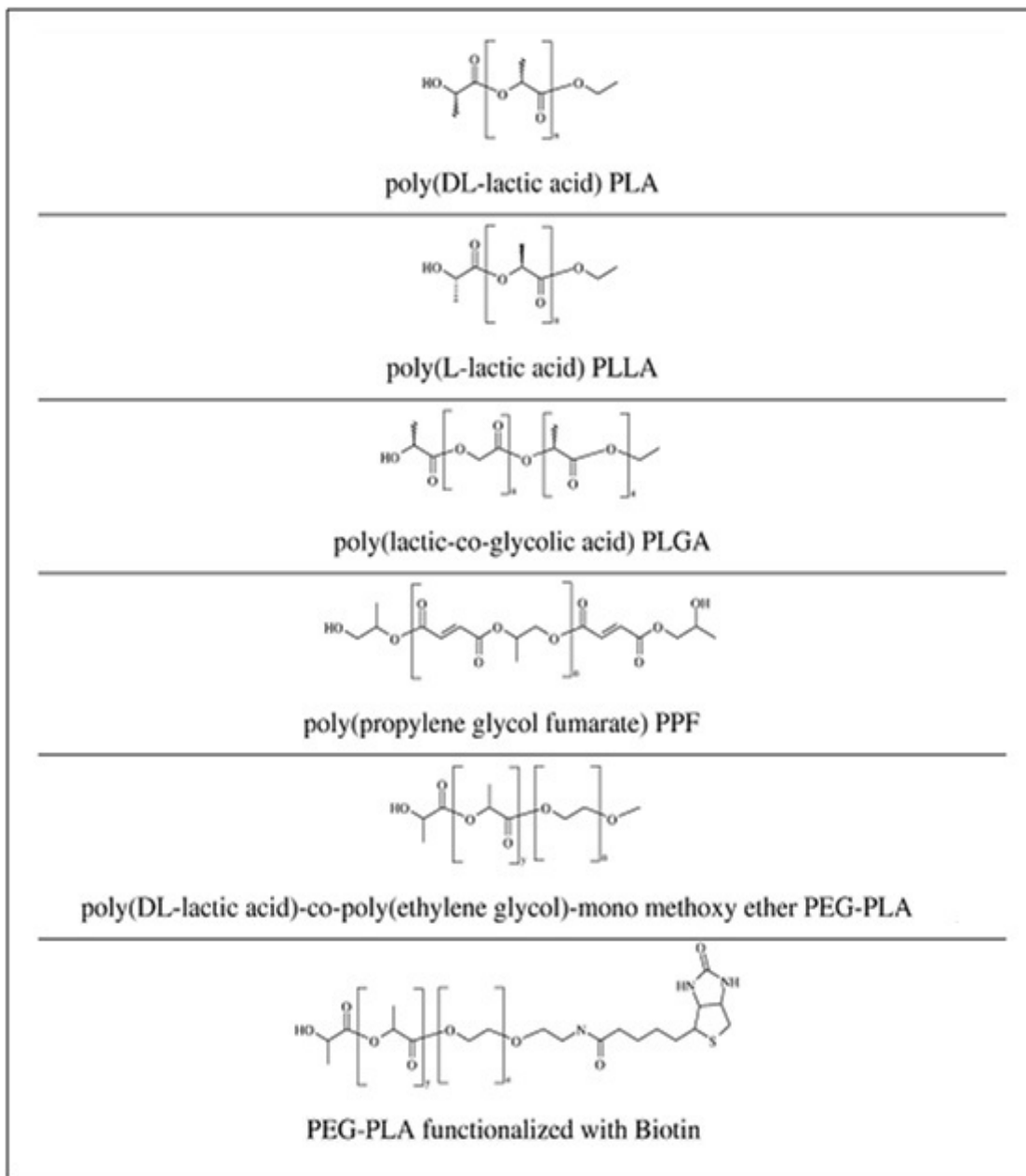
- عدم رشد یا واکنش های نامطلوب در مایعات و بافت های بدن
- حل نشدن یا جذب شدن با سرعت مطلوب

۲-۲- بیوسرامیک

سرامیک هایی که برای درمان بیماری و بازسازی صدمات وارد شده به بدن و ترمیم اعضای سایش یافته بر اثر حرکت به کار می روند، به بیوسرامیک ها معروفند [۱۰]. بیوسرامیک ها، موادی مرکب از فلزات و غیر فلزات است که با پیوندهای یونی یا کووالانسی با هم ترکیب شده اند. این مواد سخت، ترد با خواص کششی ضعیف اما استحکام فشاری عالی، مقاومت سایشی بالا و اصطکاک پایین برای کاربردهای مفصلی است. بیوسرامیک ها با توجه به خواص کاربرد و محل جایگذاری به صورت های مختلفی در بدن به کار می روند. شکل های مختلف آن شامل پودر (پودر کلسیم)، تک کریستال (یاقوت کبود)، پلی کریستال (آلومینا)، شیشه (شیشه های زیستی)، کامپوزیت ها و غیره می باشد [۸]. کامپوزیت های بیوسرامیک-پلیمر در بین همه بیومواد مناسب ترین گزینه برای جایگزینی بافت های سخت و نرم است.

۳- بیومواد پلیمری

پلیمر های طبیعی و سنتزی متعددی برای ساخت داربست های مهندسی بافت استفاده می شوند. الزامات مورد نیاز برای این مواد این است که آنها باید بطور ذاتی دارای خواصی همچون زیست- سازگاری، زیست تخریب پذیری و جذب سلول بالا باشند. بعلاوه باید دارای یک ساختار سه بعدی متخلخل دارای خواص مکانیکی پایدار با فرایندهای ساخت آسان باشند. اخیرا داربست های پلیمری هیبریدی ترکیب شده با پلیمر های سنتزی و طبیعی بمنظور شبیه سازی زمینه خارج سلولی بافت طبیعی، مورد توجه قرار گرفته است [۱۱]. شکل ۱-۲ تعدادی از این پلیمرها را که برای ساخت داربست های مهندسی بافت بکار می روند نشان می دهد.



شکل ۲-۱: پلیمرهای مورد استفاده برای ساخت داربست [۱]

۱-۳-۲- انواع پلیمرهای طبیعی

پلیمرهای طبیعی شامل فیبرین، کلاژن، ژلاتین، کایتوسان، آلزینات و اسید هیالورونیک بطور گسترده‌ای در کاربردهای مهندسی بافت استفاده می‌شوند. فیبرین، بعنوان جزء اصلی تشکیل دهنده لخته خون، در ترکیب با منعقد کننده خون برای تولید یک ژل بصورت درجا استفاده می‌شود. کلاژن نوع I مشتق شده از بافت‌های حیوانی و همچنین ژلاتین که از هیدرولیز کلاژن به دست می‌آید، قادر به تشکیل شبکه ژل متخلخل می‌باشد که سابقاً بصورت تجاری بعنوان جایگزین پوست مورد استفاده بوده‌اند. کایتوسان، بعنوان یک پلیمر کاتیونی که از کیتین به دست آمده، می‌تواند یک داربست با سطح آبدوست

و جذب کننده سلول، با خواص متمایز تولید کند، زیرا دارای ماهیت استخوان سازی ذاتی برای استفاده در مهندسی بافت استخوان می‌باشد. آرثینات، یک پلی ساکارید آنیونی مشتق شده از جلبک دریایی قهقهه‌ای می‌باشد، که وقتی با کاتیون‌های دوظرفیتی مانند Ca^{2+} ترکیب می‌شود، قابلیت تشکیل ژل را از خود نشان می‌دهد. اسید هیالورونیک، یک گلیکوسامینوگلیکان غیرسولفاته، از تکرار واحدهای دی‌ساکاریدی می‌باشد که جزء اصلی ^1ECM طبیعی است و یک هیدروژل با قابلیت تشکیل اتصالات عرضی توسط اصلاح‌کننده‌های مختلف تشکیل می‌دهد [۱۱].

۴-۲- کلسیم فسفات

از مهم‌ترین سرامیک‌های زیستی کلسیم فسفات‌ها می‌باشند. خواصی نظیر زیست سازگاری بالا، غیرسمی بودن، تشویق به استخوان سازی و ایجاد بافت جدید سبب کاربرد فراوان این مواد در پزشکی، ارتوپدی و ترمیم بافت استخوان شده است. به‌طور کلی واژه کلسیم فسفات به ترکیباتی اطلاق می‌گردد، که از یون‌های اصلی کلسیم و فسفات تشکیل شده‌اند. البته در اغلب موارد آب نیز در داخل این ترکیبات وجود دارد. هیچ یک از فازهای کلسیم فسفاتی واکنش مضری با محیط زنده ایجاد نمی‌کند، به‌همین علت در سیستم‌های بیولوژیک به‌طور وسیعی مورد بررسی قرار گرفته‌اند. پایداری کلسیم فسفات‌ها در محیط‌های فیزیولوژیکی تا حد زیادی به ترکیب شیمیایی آن‌ها وابسته است و با توجه به آن به سه دسته دائمی، کمی تحلیل پذیر و کاملاً تحلیل پذیر تقسیم‌بندی می‌شوند [۸].

جدول ۲-۱: عمدۀ ترین کلسیم فسفات‌های دارای کاربرد بیولوژیک

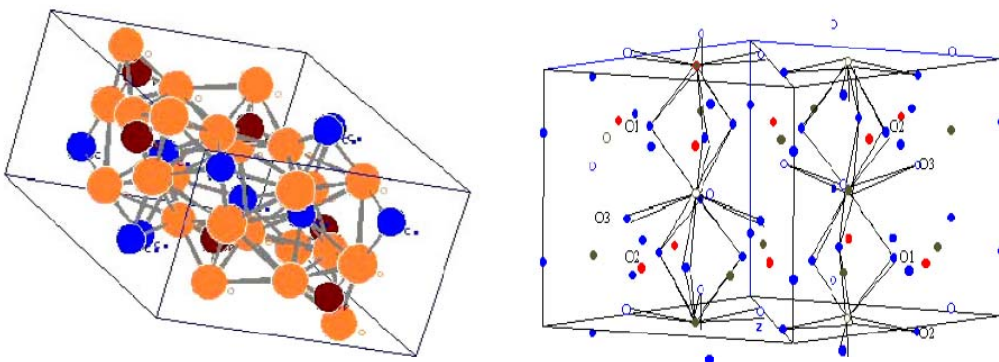
نام	نماد متداول	فرمول شیمیایی	نسبت اتمی Ca/P	نام فاز	ضریب حلالت
مونوکلسیم فسفات هیدرات	MCP	$\text{Ca}(\text{H}_2\text{PO}_4)_2\text{H}_2\text{O}$	۰/۵		$1/0 \times 10^{-3}$
دی‌کلسیم فسفات هیدرات	DCPD	$\text{CaHPO}_4 \cdot 2\text{H}_2\text{O}$	۱	براشیت	$1/87 \times 10^{-7}$
دی‌کلسیم فسفات بدون آب	DCPA	CaHPO_4	۱	مونتیت	$1/26 \times 10^{-7}$
اکتا کلسیم فسفات پنتا هیدرات	OCP	$\text{Ca}_8\text{H}_2(\text{PO}_4)_6 \cdot 5\text{H}_2\text{O}$	۱/۳۳		$5/0 \times 10^{-15}$
بتا تری کلسیم فسفات	TCP	$\text{Ca}_3(\text{PO}_4)_2$	۱/۵	بتاوتیت لوکیت	$2/83 \times 10^{-30}$
پنتا کلسیم هیدروکسیل فسفات	HA	$\text{Ca}_{10}(\text{PO}_4)_6\text{OH}_2$	۱/۶۷	هیدروکسی آپاتیت	$2/35 \times 10^{-59}$
تترا کلسیم فسفات مونوکسید	TCPM	$\text{Ca}_4\text{O}(\text{PO}_4)_2$	۲	هیلگنستوکیت	

^۱. Extra Cellular Matrices

۲-۵- هیدروکسی آپاتیت

استخوان انسان به صورت کامپوزیتی از ماده معدنی هیدروکسی آپاتیت و فاز آلی کلاژنی می‌باشد. مینرال هیدروکسی آپاتیت که به صورت تقویت‌کننده در ماتریس کلاژنی قرار گرفته است، در حدود ۷۰٪ وزنی استخوان را تشکیل می‌دهد [۴].

آپاتیتها نام گروهی از کانی‌ها با فرمول عمومی $A_{10}(BO_4)_6X_2$ می‌باشد، که با آرایش منشور شش گوش با وجود متوازی‌الاضلاع متبلور می‌شود. مهم‌ترین عضو خانواده آپاتیتها کلسیم هیدروکسی آپاتیت با فرمول کریستالی $Ca_{10}(PO_4)_6(OH)_2$ است که در آن نسبت استوکیومتری Ca/P برابر ۱/۶۷ و چگالی محاسبه شده آن $۳/۲۲ \text{ gr/cm}^3$ می‌باشد. ساختار هیدروکسی آپاتیت در حالت آرمانی هگزاگونال بوده و با جایگزینی‌های ایزومورفی امکان تبدیل ساختار هگزاگونال به مونوکلینیک نیز وجود دارد. هیدروکسی آپاتیت دارای سلول واحد پیچیده و نسبتاً بزرگی است که احتمال از دست رفتن یکپارچگی آن زیاد است [۵]. لیکن با توجه به امکان‌پذیر بودن تغییرات در ساختار و ترکیب که منجر به تشکیل هیدروکسی آپاتیت غیر استوکیومتریک می‌شود، می‌تواند به طور قابل توجهی از مقدار تئوری فاصله بگیرد. یون‌های PO_4^{3-} و Ca^{2+} و نیز OH^- می‌توانند با یون‌های دیگر جایگزین شوند. بسیاری از یون‌های جایگزین شونده در محیط‌های فیزیولوژی وجود دارند [۱۲ و ۱۳]. در شکل ۲-۲ ساختار بلوری هیدروکسی آپاتیت نشان داده شده است.



شکل ۲-۲: ساختار کریستالی هیدروکسی آپاتیت [۱۴]

۲-۵-۱- کاربردهای هیدروکسی آپاتیت

هیدروکسی آپاتیت اصلی ترین ترکیب استخوان و دندان در بدن انسان می‌باشد. این ماده علاوه بر دارا بودن ویژگی‌های بیولوژیک مانند ایمپلنت‌های دندان پزشکی، در درمان بخش‌های اطراف دندان، تقویت شیارهای لثه، جراحی استخوان‌های آرواره‌ای و لگن و کاربرد در طب، کاندیدای خوبی بوده و در

کاربردهای کاتالیستی و مبادله‌کننده‌های یونی بهدلیل دارا بودن ساختار سطحی و ظرفیت تعویض یونی، منحصر به فرد می‌باشد. هیدروکسی آپاتیت با نسبت Ca/P پایین ترین خواص الکتریکی حساس به محیط در دماهای بالا می‌باشد که قابلیت کاربرد به عنوان حسگرهای گازی و هدایت‌کننده‌های پروتونی را به آن می‌بخشد. سرامیک‌های هیدروکسی آپاتیت متراکم با خواص مکانیکی مطلوب در جایگزینی استخوان کاربرد دارد [۱۵ و ۱۶].

حقیقین عنوان کرده‌اند که کلسیم فسفات‌های متخلخل بیش از انواع متراکم مورد استفاده قرار می‌گیرند، زیرا دارای قابلیت تطابق با شکل ضایعات استخوانی هستند و نیز پس از کاربرد به علت نفوذ بافت در تخلخل‌ها، گیر مکانیکی بیشتری برای ماده فراهم می‌شود. اما ایمپلنت‌های متخلخل از مقاومت کمی برخوردارند و برای دست‌یابی به مقاومت بیشتر نیازمند نفوذ استخوان به درون تخلخل‌ها می‌باشند. بدین ترتیب و با توجه به روند آهسته استخوان سازی و پیشرفت آن به داخل تخلخل‌ها، توانایی و کیفیت ایمپلنت‌های متخلخل زیر سوال خواهد رفت [۱۷].

۲-۵-۲- اشکال هیدروکسی آپاتیت

به طور کلی هیدروکسی آپاتیت از لحاظ تراکم و تخلخل به دو صورت یافت می‌شوند:

۱- هیدروکسی آپاتیت متراکم: عاری از هر گونه تخلخل بوده و در نسوج کاملاً پایدار و بدون تجزیه می‌باشد.

۲- هیدروکسی آپاتیت متخلخل که خود سه نوع می‌باشد:

- هیدروکسی آپاتیت ماکروم�험ل که اجازه رشد نسوج به داخل آن فراهم می‌شود و از لحاظ بیولوژیکی پایدار می‌باشد.

- هیدروکسی آپاتیت میکروم�험ل که تخلخل آن کوچک بوده و به تدریج تحلیل می‌رود.

- هیدروکسی آپاتیتی که دارای هر دو نوع تخلخل باشد، به نحوی که اجازه رشد نسوج را می‌دهد اما به تدریج تجزیه می‌شود [۱۷].

۶-۲- ساختار استخوان

شبکه های خارج سلولی (ECMs)^۱ بافت های سخت متشکل از فاز های آلی و غیر آلی می باشند. فازهای غیر آلی اصولا شامل کریستال های هیدروکسی آپاتیت و فاز آلی بیشتر شامل کلاژن نوع I و مقدار کمی مواد دیگر از قبیل گلیکوزآمینو گلیکانها، پروتئو گلیکانها و گلیکو پروتئینها می باشد.

آنالیز استخوان مشکل است زیرا دارای قسمت های بسیاری می باشد. محتويات اصلی استخوان شامل کلاژن (٪ ۲۱ وزنی)، کلسیم فسفات (٪ ۶۹ وزنی) می باشد که در جدول ۲-۲ آورده شده است، بعلاوه آب و مواد معدنی مانند پروتئینها، پلی ساکاریدها و چربیها نیز در مقادیر اندک در ترکیب استخوان حضور دارند. کلاژن که می تواند بعنوان زمینه در نظر گرفته شود، به شکل میکرو رشته^۲ می باشد. تشخیص رشته های کلاژن بصورت جداگانه مشکل می باشد زیرا آنها بصورت توده شبکه ای شکل^۳ بنظر می رسدند. قطر میکرو رشته ها از ۱۰۰ تا ۲۰۰۰ نانومتر تغییر می کند. کریستال های هیدروکسی آپاتیت بصورت صفحات یا سوزن هایی که در حدود ۴۰-۶۰ نانومتر طول، ۲۰ نانومتر عرض و ۵-۱۵ نانومتر ضخامت دارند حضور دارند. آنها بصورت موازی با رشته های کلاژن به نحوی که قطر بزرگتر محور کریستال ها در امتداد محور رشته قرار گیرد، آرایش یافته اند [۱۴].

جدول ۲-۲: ترکیبات تشکیل دهنده استخوان [۱۴]

ترکیبات	مقدار (درصد وزنی)
هیدروکسی آپاتیت	٪ ۶۹
زمینه آلی	٪ ۲۲
کلاژن	٪ ۹۰-۹۶ زمینه آلی
سایر مواد	٪ ۴-۱۰ زمینه آلی
آب	٪ ۹

استخوان شامل دو بخش اصلی است: استخوان فشرده که بعنوان استخوان بیرونی و استخوان سوراخ سوراخ که بعنوان استخوان میله یا اسفنجی معروف می باشد. استخوان فشرده، سطح بیرونی استخوان می باشد. این قسمت در مقایسه با قسمت اسفنجی سخت تر و متراکم تر می باشد. این رشته های حاوی

¹ Extra Cellular Matrices

² . microfiber

³ net-like